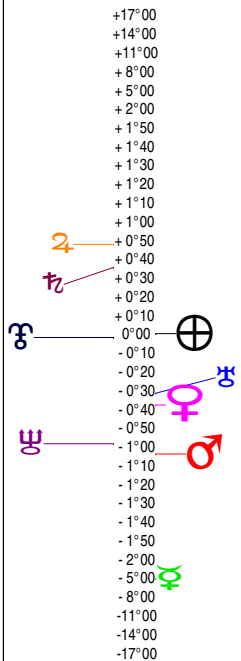
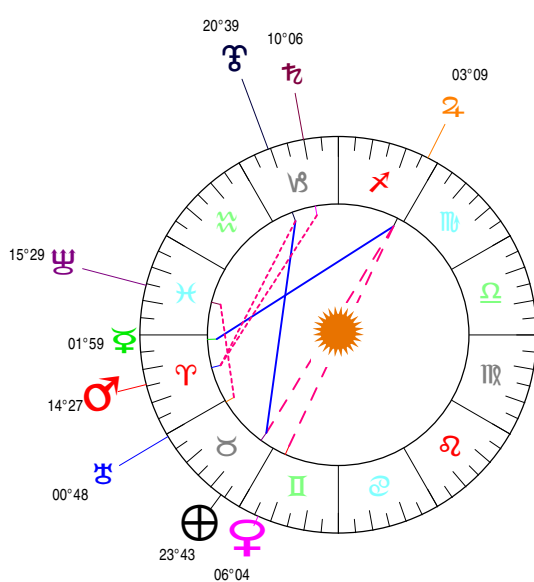


Ingrès lunaire - 16/11/2018 à 04h41m15 (GMT+1) Paris 48N52 - 002E19

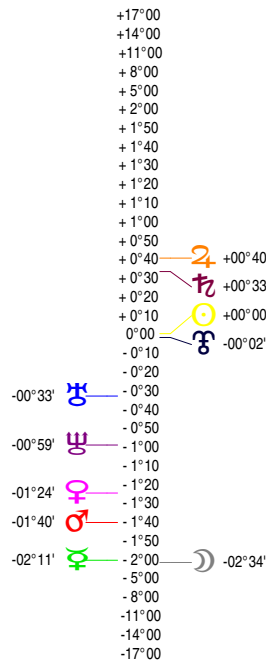
Latitudes héliocentriques



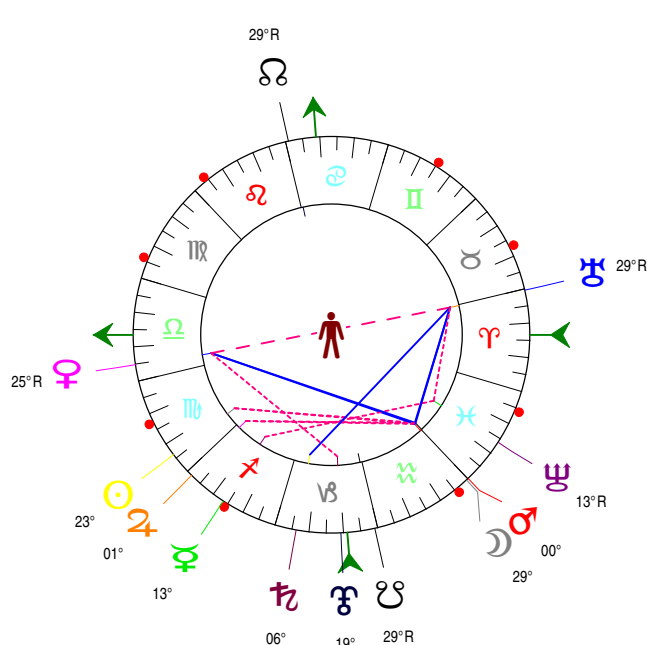
Sphère hélio-écliptique - Intégration



Latitudes géo-écliptiques



Sphère topo-géo-écliptique - Relation



Distances au Soleil en UA

| | | |
|---|--------|---|
| ☉ | 0.989 | - |
| ☿ | 0.353 | - |
| ♀ | 0.721 | - |
| ♂ | 1.407 | + |
| ♂ | 5.363 | - |
| ♂ | 10.062 | - |
| ♂ | 19.867 | - |
| ♂ | 29.939 | - |
| ♂ | 33.682 | + |

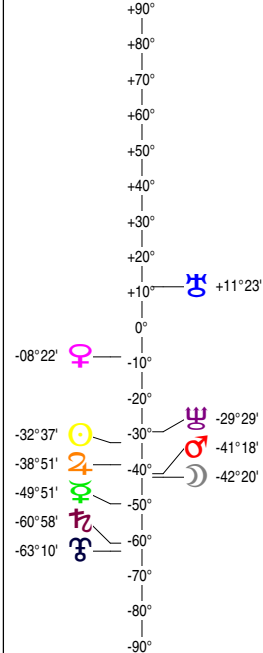
Maisons Placidus

| | |
|---------|--------|
| I-VII | 16ΩΥ34 |
| II-VIII | 12♍♂45 |
| III-IX | 14×Π38 |
| IV-X | 21♍♂05 |
| V-XI | 25♍♂38 |
| VI-XII | 24♍♂06 |

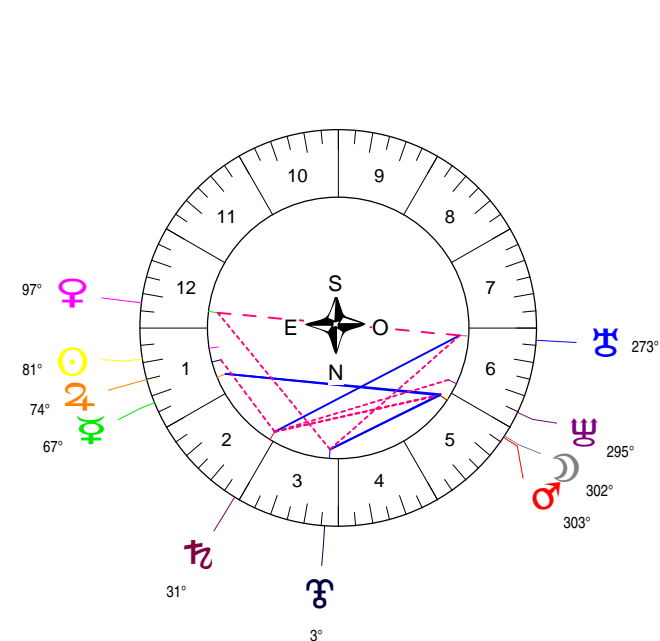
Rétrogradations

| | |
|---|-------------------------|
| ♂ | du 05 10 18 au 16 11 18 |
| ♂ | du 07 08 18 au 06 01 19 |
| ♂ | du 18 06 18 au 25 11 18 |

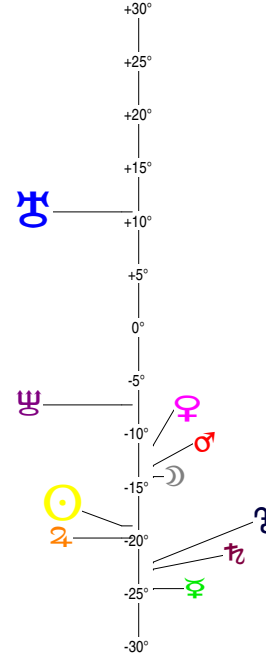
Hauteurs



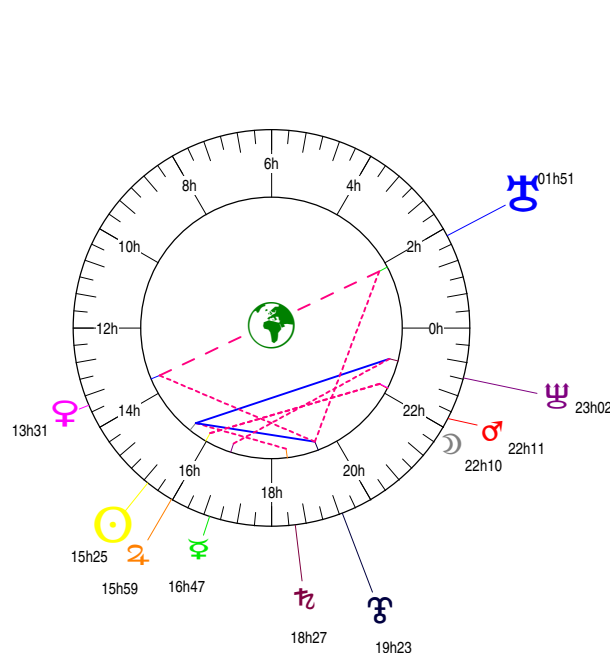
Sphère locale - Sujet



Déclinaisons



Sphère géo-équatoriale - Objet



Distances à la Terre en UA

| | | |
|---|------------|---|
| ☉ | 0.989 | - |
| ☿ | 402 931 km | - |
| ♀ | 0.820 | - |
| ♂ | 0.324 | + |
| ♂ | 0.896 | + |
| ♂ | 6.341 | + |
| ♂ | 10.768 | + |
| ♂ | 18.960 | + |
| ♂ | 29.587 | + |
| ♂ | 34.231 | + |

IG relatives

| Héliocentr. | Géocentr. |
|-------------|-----------|
| ☉ 82 | ☉ 82 |
| ☿ 57 | ☿ 5 |
| ♀ 70 | ♀ 31 |
| ♂ 88 | ♂ 15 |
| ♂ 17 | ♂ 3 |
| ♂ 5 | ♂ 8 |
| ♂ 11 | ♂ 69 |
| ♂ 66 | ♂ 64 |
| ♂ 59 | ♂ 51 |